

В. М. МУСАЛИМОВ, Г. Б. ЗАМОРУЕВ, А. Д. ПЕРЕЧЕСОВА

РАСЧЕТ ФИЗИКО-МЕХАНИЧЕСКИХ ХАРАКТЕРИСТИК ВИНТОВЫХ ЭЛЕМЕНТОВ СПИРАЛЬНО-АНИЗОТРОПНЫХ СТЕРЖНЕЙ

Представлен алгоритм расчета упругих констант винтовых элементов спирально-анизотропных стержней, основанный на методах оптимизации. Расчет производился путем минимизации функционала $f(E_1, G_1)$ на заданных интервалах коэффициента Пуассона. В качестве примера спирально-анизотропного стержня рассматривался кабель.

Ключевые слова: спирально-анизотропный стержень, интегральные упругие постоянные, кабель, методы оптимизации.

Теория спирально-анизотропных стержней. Многослойные пружины, канаты, тросы, нити представляют собой объекты механики деформируемого твердого тела, которые моделируются как спирально-анизотропные стержни (САС) [1]. На рис. 1 приведена типичная конструкция гибкого кабеля. Механические свойства винтовых составляющих этих конструкций определяются их физико-механическими характеристиками E_1, G_1, ν_1 , соотнесенными с геометрией подвижного репера ξ, η, r (рис. 1). Механические свойства самих конструкций традиционно соотнесены с геометрией стержня — осью z и радиусом r (рис. 1). При механических испытаниях САС регистрируются линейные e и угловые θ деформации при различных граничных условиях, определяющих деформированное состояние: свободное и стесненное растяжение, свободное и стесненное кручение. В работах [1, 2] представлены уравнения, связывающие внешние силы и моменты с линейными и угловыми деформациями САС:

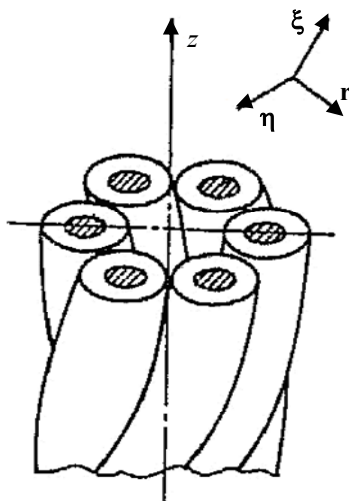


Рис. 1

Здесь при $A_{11}, A_{22}, A_{12} = A_{21}$ — соответственно модули растяжения, кручения, растяжения-кручения; E — модуль упругости САС, P — осевая нагрузка, M — скручивающий момент.

$$\left. \begin{aligned} \frac{P}{\pi R^2 E_1} &= A_{11} e + A_{12} \hat{\theta}; \\ \frac{M}{\pi R^3 E_1} &= A_{21} e + A_{22} \hat{\theta}. \end{aligned} \right\} \quad (1)$$

Здесь при $A_{11}, A_{22}, A_{12} = A_{21}$ — соответственно модули растяжения, кручения, растяжения-кручения; E — модуль упругости САС, P — осевая нагрузка, M — скручивающий момент.

Перепишем уравнения системы (1) в виде:

$$\left. \begin{aligned} \frac{P}{\pi R^2} &= A_{11} E_1 e + A_{12} E_1 \hat{\theta}; \\ \frac{M}{\pi R^3} &= A_{21} E_1 e + A_{22} E_1 \hat{\theta} \end{aligned} \right\}$$

и введем следующие обозначения:

$$A_{11} E_1 = \alpha_{11}, \quad A_{12} E_1 = \alpha_{12}, \quad A_{21} E_1 = \alpha_{21}, \quad A_{22} E_1 = \alpha_{22}.$$

В работах [1, 2] приведены также уравнения, связывающие экспериментально определенные модули с физико-механическими характеристиками винтовых составляющих САС:

$$\left. \begin{aligned} \alpha_{11} &= G_1(9\phi_1 + 18\phi_2) - \frac{1}{2 - \nu_1} 9\phi_2 E_1 + E_1 - 3\phi_1 E_1; \\ \alpha_{12} &= -G_1(3\phi_1 + 12\phi_2) + \frac{1}{2 - \nu_1} 6\phi_2 E_1 + \phi_1 E_1; \\ \alpha_{22} &= G_1\left(\frac{tg^2 \alpha_0}{2} + 8\phi_2\right) - \frac{1}{2 - \nu_1} 4\phi_2 E_1, \end{aligned} \right\} \quad (2)$$

где

$$\begin{aligned} \phi_1 &= 1 - 2ctg^2 \alpha_0 \ln \sec \alpha_0; \\ \phi_2 &= \frac{1}{2} \sin^2 \alpha_0 - \phi_1. \end{aligned}$$

Соотношения (2) являются нелинейной алгебраической системой уравнений относительно интегральных упругих постоянных E_1 , G_1 , ν_1 . Целью настоящей статьи является разработка новых подходов к решению таких систем уравнений и определение физико-механических характеристик E_1 , G_1 , ν_1 , что актуально для оценки свойств элементов с микронными радиусами.

Алгоритмы решения слабообусловленных нелинейных систем алгебраических уравнений (оптимизаторы). Ранее для решения системы уравнений использовались вероятностные методы и методы минимизации специально построенного функционала [1, 2]. В настоящей работе для определения интегральных упругих постоянных САС использованы оригинальные оптимизаторы.

Оптимизируемая модель представляется вектором функций

$$\mathbf{y} = f(\mathbf{x}),$$

где $y_i (i = \overline{1, m})$, $m \geq 1$ — функции ряда независимых факторов влияния, $x_j (j = \overline{1, n})$, $n \geq 1$.

Все функции y объединяются в функционал

$$F(\mathbf{x}) = \sum_{i=1}^m [f_i(\mathbf{x}) \mathbf{g}_i],$$

где \mathbf{g}_i — вектор весовых коэффициентов для каждой из функций.

Производные от $F(\mathbf{x})$ по \mathbf{x} формулы

$$\frac{dF(\mathbf{x})}{d\mathbf{x}} = 2 \sum_{i=1}^m f_i(\mathbf{x}) \mathbf{g}_i \frac{\partial f_i}{\partial x_j}, \quad (3)$$

где $\frac{\partial f_i}{\partial x_j}$ — $(m \times n)$ -матрица (матрица Якоби), а $f_i(\mathbf{x})$ — вектор функций (3).

С геометрической точки зрения функционал $F(\mathbf{x})$ является гиперповерхностью многих переменных \mathbf{x} . Эта так называемая поверхность отклика не может существовать в области отрицательных значений области $F(\mathbf{x})$ и в пределе может касаться гиперплоскости \mathbf{x} , в этом случае функционал $F(\mathbf{x})$ имеет точку с нулевым значением и, в свою очередь, $\mathbf{y} = f(\mathbf{x})$ является хорошо обусловленной системой уравнений. Во всех других случаях $F(\mathbf{x})$ имеет экстремум (в данной задаче — минимум) при том или ином численном (вещественном) значении $F(\mathbf{x})$.

Производная $\frac{dF(\mathbf{x})}{d\mathbf{x}}$ геометрически является вектором нормали к поверхности отклика (направление вектора — наружу от поверхности), его длина

$$D_n = \sqrt{\sum_{i=1}^n \left(\frac{\partial F(\mathbf{x})}{\partial x_i} \right)^2}, \quad (4)$$

Единичный вектор нормали (направляющие косинусы) определяет направление скорейшего спуска:

$$D_{nli} = \frac{\frac{\partial F(\mathbf{x})}{\partial x_i}}{D_n}.$$

Если произвести сечение поверхности отклика гиперплоскостью, параллельной \mathbf{x} , то получим замкнутую линию при $n=2$, замкнутую поверхность при $n=3$ или замкнутую гиперповерхность при $n>3$. Эти геометрические образы принято называть линиями уровня функционала $F(\mathbf{x})$. Они хорошо отображаются на плоской поверхности при $n=2$. Вектор нормали (перпендикулярный поверхности отклика) нормален и к линиям уровня в данной точке. Поскольку нормаль направлена в сторону увеличения $F(\mathbf{x})$, направляющий вектор имеет знак „минус“.

Общая стратегия поиска оптимального значения (минимума)

1. Задаются начальные значения переменных \mathbf{x} .
2. Рассчитываются значения всех исходных функций и функционала $F(\mathbf{x})$.
3. Выбирается направление движения, т.е. задается некоторый вектор $\mathbf{D}(\mathbf{x})$ (лучше единичный) для движения в направлении этого вектора с шагом λ . На каждом шаге рассчитывается значение $F_1(\mathbf{x})$ и сравнивается с предыдущим значением $F_0(\mathbf{x})$:

— если $F_1(\mathbf{x}) < F_0(\mathbf{x})$, движение продолжается в выбранном направлении;

— если $F_1(\mathbf{x}) > F_0(\mathbf{x})$, движение осуществляется в обратном направлении с уменьшенным шагом ($\lambda = -\frac{\lambda}{2}$).

Это условие используется до достижения оптимума на данном шаге с требуемой точностью, таким образом $\mathbf{x}_{k+1} = \mathbf{x}_k + \mathbf{D}\lambda$.

После уточнения нового значения \mathbf{x} шаг считается законченным, направление движения \mathbf{D} изменяется и повторяются шаги с относительными оптимумами, пока не будет достигнуто удовлетворительное решение задачи.

Относительный оптимум на каждом шаге является точкой касания линии движения по направлению \mathbf{D} к некоторой линии уровня функционала $F(\mathbf{x})$.

Опишем широко используемые методы поиска оптимума.

Метод перебора координат — простой, в нем не применяются производные $\frac{dF(\mathbf{x})}{d\mathbf{x}}$.

Направление $\mathbf{D}(\mathbf{x})$ выбирается совпадающим на каждом шаге с одной из осей координат гиперплоскости \mathbf{x} . Движение осуществляется с некоторым шагом вдоль произвольной координаты x_i до определения промежуточного оптимума. Затем движение осуществляется вдоль оси x_{i+1} и реализуется второй шаг, до тех пор пока не произойдет перебор всех координат \mathbf{x}

задачи. Затем следует вернуться к координате x_i и повторить все действия до достижения удовлетворительного результата.

К достоинствам метода относятся простота, отсутствие необходимости в расчете производных; к недостаткам: как правило, большое количество шагов и иногда фактическая невозможность довести решение до конца в случае сложной, сильно искривленной конфигурации линий уровня.

Метод „деформируемого симплекса“. Реализация алгоритма начинается с задания $n+1$ точки (стартовый симплекс) для гиперплоскости \mathbf{x} , что довольно трудно, с этой целью используется некоторая подпрограмма.

Затем для всех $n+1$ точек определяются значения всех функций и функционалов $F(\mathbf{x})$, далее производится оценка всех $n+1$ точек по величине $F(\mathbf{x})$, в результате определяются „худшая точка“, в которой $F(\mathbf{x})$ имеет наибольшее значение (ей присваивается номер 1), и „лучшая“ — где наименьшее (номер $n+1$).

Далее определяется вектор $\mathbf{D}(\mathbf{x})$ (направление движения).

Метод аппроксимации параболой сечения поверхности отклика плоскостью, содержащей нормаль поверхности в рассматриваемой точке и перпендикулярной гиперплоскости параметров \mathbf{x} . Такое коническое сечение является параболой, и если найти константы параболы, можно одним вычислительным шагом спуститься к ее критическому значению, т.е. с той или иной точностью совершить шаг промежуточной оптимизации.

Достоинством метода является очень высокая скорость расчета, так как отсутствует необходимость „осторожного“ передвижения малыми шагами с расчетом функционала и часто производных. Надежно и быстро может быть получено решение с требуемой точностью при умеренном количестве шагов.

Чрезвычайно эффективным методом оптимизации является метод, условно называемый „Гребень“, позволяющий максимально придерживаться линии „гребня“ поверхности отклика, т.е. линии наиболее глубокой и наиболее пологой части „дна долины“ поверхности отклика. Метод использует два типа шагов и основан на геометрических свойствах поверхностей (гиперповерхностей). Производная от $F(\mathbf{x})$ по \mathbf{x} , как уже говорилось, геометрически является нормалью к поверхности (и линии уровня) и имеет определенную величину (4). Если двигаться в некотором направлении и последовательно оценивать производную $\frac{dF(\mathbf{x})}{d\mathbf{x}}$, можно получить множество критических значений на „гребне“ (первый тип шагов). Далее при движении по гребню оценивается величина $F(\mathbf{x})$ (второй тип шагов).

Достоинством метода является возможность решить при малом числе шагов практически любую задачу с произвольной топологией линий уровня $F(\mathbf{x})$. К недостаткам относятся большое число арифметических операций при определении производных и нормали на каждом малом шаге и, следовательно, относительно большое время работы процессора, зависящее от изначальной математической модели задачи $f(\mathbf{x}), \dots, f_m(\mathbf{x})$.

Примеры расчета. В работе в качестве модулей растяжения α_{11} , кручения α_{22} , растяжения-кручения α_{12} использованы данные систематических исследований по механике кабеля. В табл. 1 приведены характеристики двух типов кабеля КГ 3×4+1×2. В табл. 2 приведены расчетные данные для кабеля, полученные вероятностным методом [1, 2], численные значения интегральных упругих постоянных, полученные на основе детерминированного подхода [1], а также методом приведенного оригинального функционала.

Таблица 1

№	α_{11} , Па	α_{12} , Па	α_{22} , Па
1	$2,42 \cdot 10^9$	$1,80 \cdot 10^6$	$5,55 \cdot 10^5$
2	$2,20 \cdot 10^9$	$1,94 \cdot 10^6$	$4,23 \cdot 10^5$

Таблица 2

Метод	E_1 , Па		G_1 , Па		ν_1	
	1	2	1	2	1	2
Вероятностный	$2,38 \cdot 10^9$	$2,16 \cdot 10^9$	$1,66 \cdot 10^9$	$1,50 \cdot 10^9$	0,300	0,304
На основе детерминированного подхода	$2,42 \cdot 10^9$	$2,21 \cdot 10^9$	$3,53 \cdot 10^8$	$2,37 \cdot 10^8$	0,266	0,428
Приведенного функционала для различных ν_1	$2,4465 \cdot 10^9$	$2,2250 \cdot 10^9$	$7,2913 \cdot 10^8$	$6,5977 \cdot 10^8$	0,300	0,304
	$2,4462 \cdot 10^9$	$2,2260 \cdot 10^9$	$7,3056 \cdot 10^8$	$6,5450 \cdot 10^8$	0,266	0,428

На рис. 2—5 для $\nu_1=0,3$ приведены оценки, полученные с помощью алгоритмов описанных методов. В качестве исходных данных использованы параметры, указанные в строке 1 табл. 1, угол наклона к оси анизотропии упруго-эквивалентных спиралей $\alpha_0 = 15^\circ$. Рис. 2 — программа „Парабола“; 3 — „Гребень“; 4 — „Координатная“; 5 — „Симплекс“ (*a* — графическое отображение работы программы оптимизации; *b* — увеличенное графическое отображение работы программы оптимизации). Результат: $E_1=2,4465 \cdot 10^9$ Па, $G_1=7,2913 \cdot 10^8$ Па.

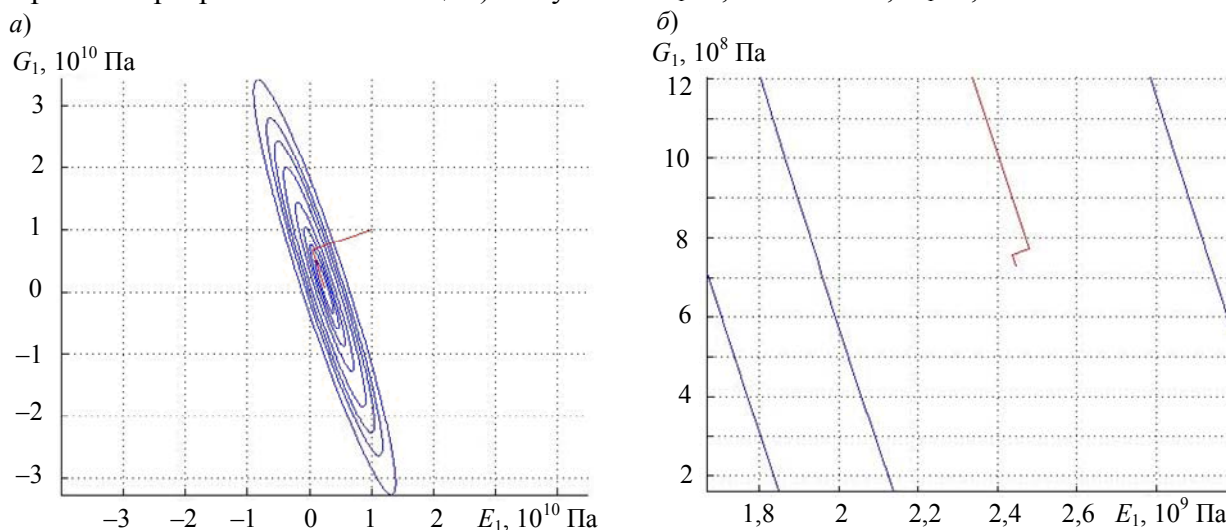


Рис. 2

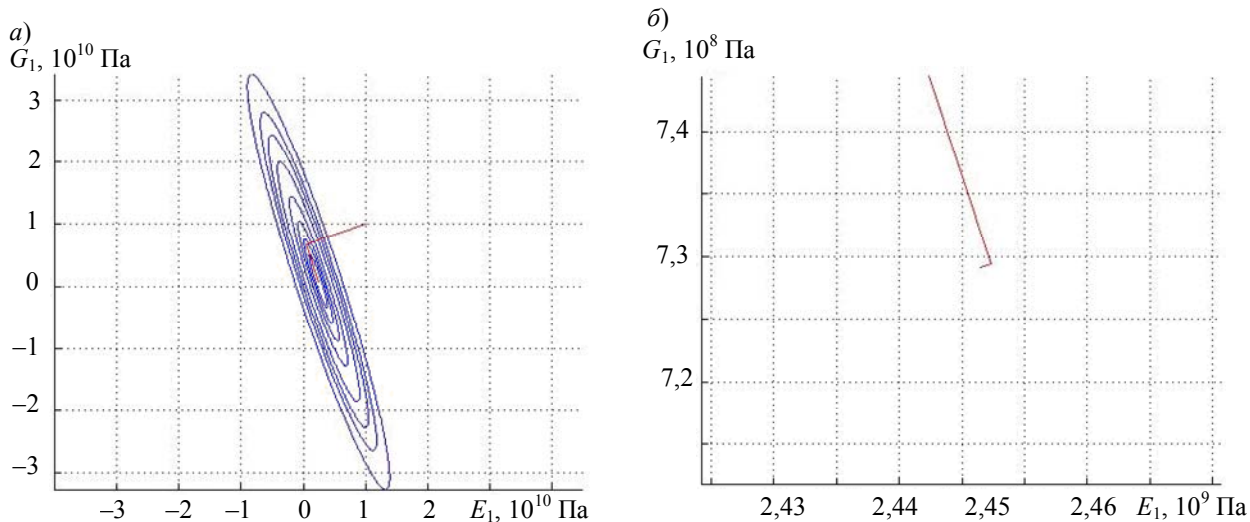


Рис. 3

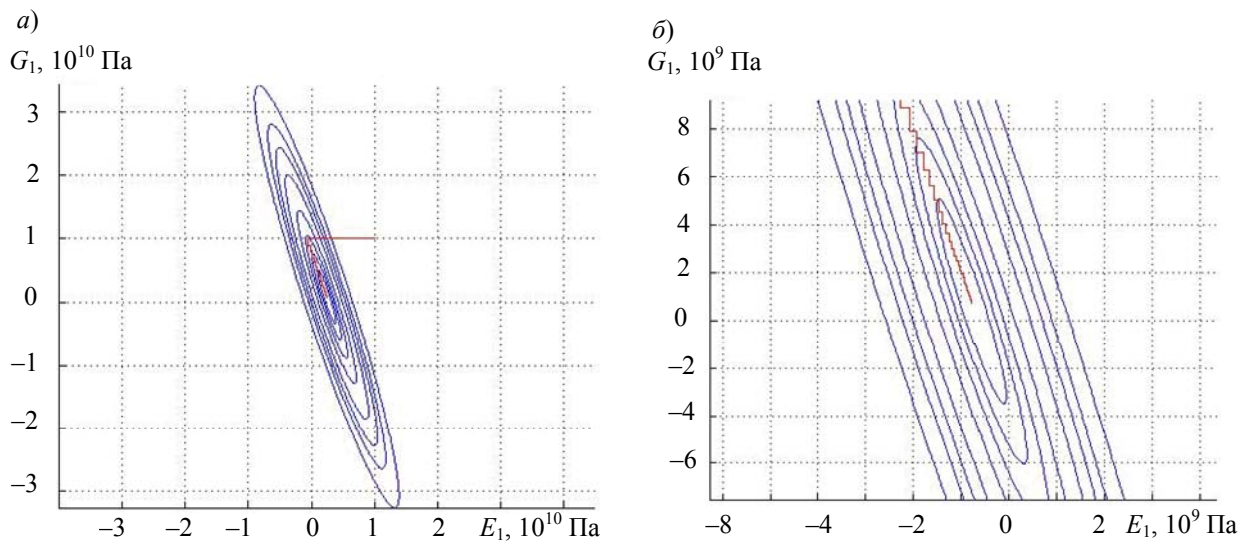


Рис. 4

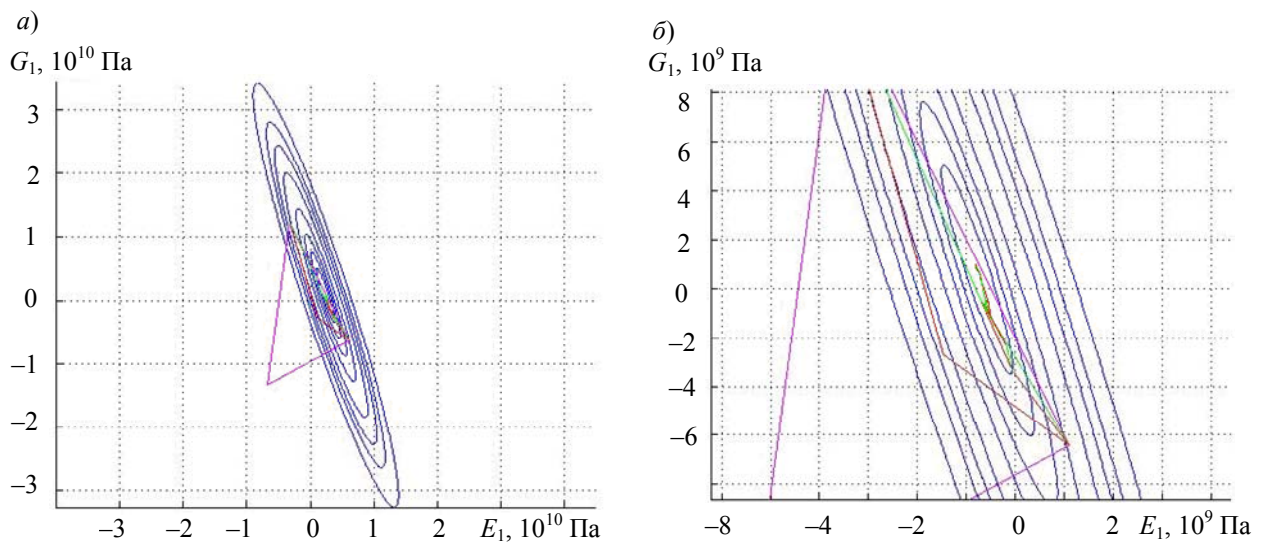


Рис. 5

Следует отметить, что с помощью оптимизаторов вычисляются все значения физико-механических характеристик E_1 , G_1 для $0 \leq \nu_1 \leq 5$, в то время как для первых двух методов приведены значения наиболее вероятных их значений. На рис. 6 показан характер изменения отношения E_1/G_1 в зависимости от функции ν_1 .

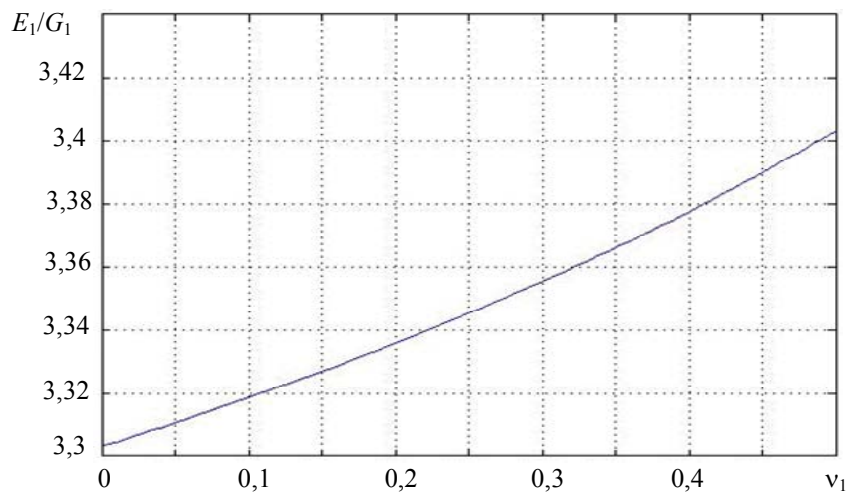


Рис. 6

Заключение. В настоящей работе развиты новые подходы к оценке физико-механических характеристик винтовых элементов САС. Показано, что предложенные методы оптимизации позволяют эффективно решать слабообусловленные нелинейные системы алгебраических уравнений.

СПИСОК ЛИТЕРАТУРЫ

1. Мусалимов В. М. Механика деформируемого кабеля. СПб: СПбГУ ИТМО, 2005. 203 с.
2. Мусалимов В. М., Мокряк С. Я., Соханев Б. В., Шиянов В. Д. Определение упругих характеристик гибких кабелей на основе модели спирально-анизотропного тела // Механика композитных материалов. 1984. № 1. С. 136—141.
3. Фиакко А., Мак-Кормик Г. Нелинейное программирование. Методы последовательной безусловной минимизации. М.: Мир, 1972. 241 с.

Сведения об авторах

- Виктор Михайлович Мусалимов** — д-р техн. наук, профессор; Санкт-Петербургский национальный исследовательский университет информационных технологий, механики и оптики, кафедра мехатроники; E-mail: musvm@yandex.ru
- Георгий Борисович Заморуев** — канд. техн. наук, доцент; Санкт-Петербургский национальный исследовательский университет информационных технологий, механики и оптики, кафедра мехатроники; E-mail: georgyz09@gmail.com
- Анна Дмитриевна Перечесова** — аспирант; Санкт-Петербургский национальный исследовательский университет информационных технологий, механики и оптики, кафедра мехатроники; E-mail: perechesova@gmail.com

Рекомендована кафедрой
мехатроники

Поступила в редакцию
29.02.12 г.